تحضير ودراسة المتصل الثنائي Al,Cu,Ag/CdTe-p

الدكتور رياض العبد الله * الدكتور أيمن جندل كسيبي ** زكريا محمد على الشرفي ***

(تاريخ الإيداع 18 / 7 / 2007. قُبِل للنشر في 2007/10/31

□ الملخّص □

تم في هذا البحث دراسة الميزة I-V لمتصلات ثنائية من النوع $Al,Cu,Ag/CdTe_{(p)}$ من خلال ترسيب طبقات رقيقة من المعادن Al,Cu,Ag على فيلم رقيق من $CdTe_{(p)}$ محضر بثلاث طرق مختلفة:

- 1) ترسيب الطبقات المتراكمة من العنصرين Cd و Te.
 - 2) ترسيب مزيج من العنصرين Cd و Cd
 - 3) ترسيب مسحوق من البلورة CdTe.
- ثم أخضعت هذه الأفلام إلى المعالجة الحرارية فيما بعد الترسيب في الدرجة 400° C خارج حجره التخلية.

تتصف هذه الأفلام ببنية مكعبة مركزية الوجوه ($^{\circ}$ ($^{\circ}$ ($^{\circ}$ ($^{\circ}$ ($^{\circ}$)). تم حساب كلٍ من معامل الامتصاص وعرض العصابة المحظورة لهذه الطبقة. أشارت الميزة ($^{\circ}$ ($^{\circ}$ ($^{\circ}$) بوضوح إلى خاصة تقويم التيار في هذه المتصلات نتيجة تشكل حاجز شوتكي. حدد كل من عامل المثالية ($^{\circ}$ ($^{\circ}$ ($^{\circ}$) وكثافة تيار الإشباع ($^{\circ}$ ($^{\circ}$) وارتفاع حاجز شوتكي حدد كل من عامل المثالية ($^{\circ}$ ($^{\circ}$). فسر ارتفاع عامل المثالية بوجود طبقة رقيقة بينية من الأكسيد ($^{\circ}$ ($^{\circ}$ 0.75eV – 0.82eV) التي تسبب ازدياداً في الكمون الداخلي $^{\circ}$ ($^{\circ}$) وتأخراً في عتبة التيار (حول القيمة $^{\circ}$ (0.6V). و قد تميز ارتفاع حاجز شوتكي بارتفاع الكهر وسلبية للمعدن.

لوحظ تحسن في قيم كثافة التيار في المتصلات المحضرة بالطريقة الأولى، وطابق هذا التحسن نقصان ارتفاع حاجز شوتكي، وفسر هذا الأمر نتيجة تزايد حجم الحبيبات البلورية لـ CdTe وزيادة بقايا عنصر Te، إذْ تسيطر النوعية (p) أكثر وتتخفض مقاومة المتصل الثنائي.

كلمات مفتاحية: CdTe(p)، الميزة VI-V، فيلم رقيق، حاجز شوتكي، عامل المثالية.

^{*} أستاذ في قسم الفيزياء - كلية العلوم - جامعة البعث- سورية.

^{**} أستاذ مساعد في قسم الفيزياء - كلية العلوم - جامعة البعث - سورية.

^{* * *} طالب دكتوراه في قسم الفيزياء - كلية العلوم - جامعة البعث - سورية - يمني الجنسية.

Preparing and Studying Al, Cu, Ag/CdTe-p Diode

Dr. R. Al-Abdellah *
Dr. Ayman Ksibe**
Zakaraya M. A. Al-Sharafi***

(Received 18 / 7 / 2007. Accepted 31/10/2007)

\square ABSTRACT \square

In this research, the I-V characteristic of Al,Cu,Ag/CdTe-p diode is studied by depositing three layers of metals Al, Cu Ag on thin film of CdTe-p prepared by three different methods:

- Depositing the accumulative layers of Cd and Te elements.
- Depositing a mixture of Cd and Te elements.
- Depositing a powder of CdTe monocrystal.

These films were then thermally annealed after deposition at a temperature of 400°C outside the evacuation chamber.

These films possess a face centered cubic structure (F.C.C.) (a= 6.497Å). The absorption coefficient and the energy band gap of thin layer were calculated. The I-V characteristic clearly indicates the current rectification property in there diodes a result of Schottky barrier formation. The ideality factor (n≈10) and the saturation current density $\left(J_s\approx 10^{-8}\frac{A}{Cm^2}\right)$ were determined. The height of Schottky barrier was been

calculated $(q\phi_{Bp}\approx 0.75 eV-0.82 eV)$. The increase in the ideality factor was interpreted by the interfacial layer of CdTeO₃ oxide which caused an increase in the internal potential V_{bi} and a dilation in the current growth threshold around value 0.6 V. The height of Schottky barrier was characterized by an increase in the electronegative /value of the metal. An enhancement of the metal occurs in the current density values in the diodes prepared by the first method. Thin enhancement is accompanied by a decrease in Schottky barrier height and is related to the increase in the grain size and an increase in the remaining Te element where type (p) is enhanced greatly and the resistance of the diode is decreased.

Keywords: CdTe, p- type, I-V characteristic, thin film, Schottky barrier, ideality factor.

^{*}Professor, Department of Physics, Faculty of Sciences, Albaath University, Homs, Syria.
**Associate Prof, Department of Physics, Faculty of Sciences, Albaath University, Homs, Syria.

^{***}Ph. D. Student, Department of Physics, Faculty of Sciences, Albaath University, Homs, Syria.

1- مقدمة:

تعتمد الأجهزة الإلكترونية والضوئية الإلكترونية في أدائها على المتصل معدن – نصف ناقل (M-S)، في حال استخدامه كمتصل ثنائي ذي حاجز شوتكي في التطبيقات المختلفة لتقويم التيار، وفي التحويل الفوتوفلطائي. وفي كلتا الحالتين يلزمنا طبقة فعاله نصف ناقل كمادة تلوريد الكادميوم موضوع بحثنا الحالي، وفي كلا التطبيقين السابقين يتوقف سلوك المتصل على طبيعة المادة الفعّالة وخصائصها CdTe ونوعها (p) أو (n) وإشابتها أو عدم إشابتها وهذه الميزات بدورها ترتبط ارتباطا وثيقا بطريقه تحضير الطبقة الأساسية من CdTe.

للتوصل إلى شروط تشكل المتصل كحاجز شوتكي أو كتماس أومي يلزم الرجوع لبعض الأسس الإلكترونية المتعلقة بخروج الإلكترونات من المادة [1,2]. وفي هذا الصدد نذكّرُ بالمقادير التالية: $q\phi_m$ (حيث $q\phi_m$ بالفولت) تابع العمل للمعدن وهو الطاقة اللازمة لنزع الإلكترون من سوية فرمي في المعدن إلى سوية الخلاء $q\chi = E_{\rm Vac} - E_{\rm C}$ ووعطى بفرق الطاقة بين سوية فرمي في نصف الناقل وسوية الخلاء. يمثل المقدار (electron affinity) النصف الناقل وهي الطاقة اللازمة لنقل الإلكترونات من أدنى عصابة الناقلية إلى الخلاء.

تتلخص شروط تشكل حاجز شوتكي بما يخص دراستنا كما يلي: [2,3,.4]

- عندما , φ , φ , يشكل النوع (p) حاجزاً شوتكياً ويشكل النوع (n) تماساً أومياً.
- عندما ϕ_m / ϕ_s يشكل النوع (p) تماساً أومياً ويشكل النوع (n) حاجز شوتكي.

ونظرياً يصبح المتصل أومياً عندما يكون ارتفاع حاجزاً شوتكياً $q\phi_p$ صفراً أو سالباً حيث تكون مقاومة المتصل أصغريه ويحدث تدفق للإلكترونات بشكل متناظر تقريباً في كلٍ من التغذية الأمامية و التغذية العكسية [4,5,6] .

يتميز تاوريد الكادميوم CdTe بألفة إلكترونية عالية نسبياً ($\chi=4.28{\rm eV},4.3{\rm eV}$) وتابع عمل يتميز تاوريد الكادميوم أكبر من CdTe عتمادا على قيمة E_g وباعتبار أن تابع العمل لمعظم المعادن يتراوح بين 4 $\phi_{s(p)}=E_g+\chi$ أكبر من $\phi_{s(p)}=E_g+\chi$ أكبر من الصعب الحصول على متصل ثنائي من النوع M/CdTe يتصف بصفات التماس الأومي، وخصوصاً عندما تكون الإشابة ضئيلة التركيز أو أن يكون نصف الناقل غير مشوب، وعلى العكس فمن السهولة الحصول على حاجز شوتكي من النوع M/CdTe في حين أن النوع M/CdTe يمكن أن يستخدم بسهوله أكثر للحصول على تماس أومي ولكن هذا ليس ضرورياً. فقد حصل M/CdTe وزملاؤه [11] على متصلات ثنائية بحاجز شوتكي من M/CdTe لعدة معادن ولكن سلوكها يقترب من سلوك التماس الأومي خصوصاً في مجال الجهد المطبق الأصغر من M/CdTe

 E_g تتوقف قيمة تابع العمل المعدن على طريقة قياسه وعلى طريقة تحضير سطح المعدن [10]، وتتوقف قيمة E_g على طريقة التحضير التي يتم بها تشكيل الفيلم الرقيق من E_g (12,13] E_g الفيلم الرقيق من الفيلم الرقيق من الفيلم الرقيق من الإلكترونية الأخرى. لذلك فإن دراسة حاجز شوتكي لمعادن مختلفة مع فيلم رقيق من E_g محضر بطرق متباينة تحتل أولوية مهمة في طريق التطبيقات العملية لمتصلات تلوريد الكادميوم الثنائية.

2- أهمية البحث وأهدافه:

تكمن أهمية المتصلات الثنائية المحضرة في هذا البحث من تلوريد الكادميوم في إمكانية استخدامها في الأدوات الإلكترونية والإلكترونية والإلكترونية الضوئية كمقوماتٍ للتيار وأدواتٍ للتحويل الفوتوفلطائي. ويهدف البحث إلى دراسة الميزة I-V لمتصلات ثنائية من النوع Al, Cu, Ag/CdTe-pودراسة تأثير طريقة التحضير عليها حيث استخدمت أفلام رقيقة محضرة بثلاث طرق مختلفة:

- 1) فيلم رقيق بطريقة الطبقات الأولية المتراكمة Stacked Elemental Layer Technique بتنوع المعالجة الحرارية.
 - 2) فيلم رقيق بطريقة تبخير مزيج من مسحوق عنصري Cd و Te متبوعة بالمعالجة الحرارية.
 - 3) فيلم رقيق بالترسيب المباشر من المركب CdTe النقى على الركيزة متبوعة بالمعالجة الحرارية.

 $Cu/CdTe_{(p)}, Al/$ ولمعرفة تناسق النتائج وانتظامها regularity نوقشت خصائص ثلاث متصلات مختلفة $CdTe_{(p)}, Al/$ محضرة بشروط وأبعاد متماثلة إلى حد كبير.

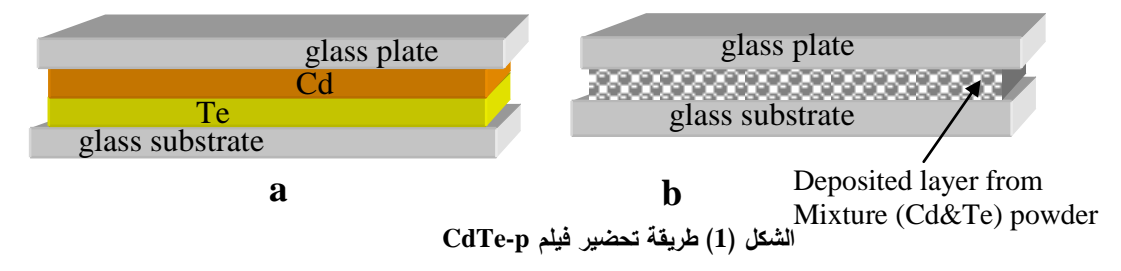
3- طرق الحصول على الأفلام الرقيقة والقياسات التجريبية:

3-1 تحضير الطبقة الأساسية للمتصل (M-S) من نصف الناقل CdTe-p

نظراً لتأثير طريقة التحضير على الخصائص البنيوية والضوئية والإلكترونية للمتصل الثنائي قمنا بتحضير فيلم رقيق رقع vacuum deposition بثلاث طرق مختلفة، وتشترك جميعها بطريقة الترسيب في الخلاء vacuum deposition على ركائز زجاجية بمنظومة إدوارد المعروفة 306 Edwards—Auto وتحت ضغط ركائز زجاجية بمنظومة إدوارد المعروفة 306 Edwards—Auto وتحت ضغط $^{-2}$ mbar أسفل القرص الدوار بمسافة $^{-2}$ المدة في قارب تبخير من خلال اللوحة الإلكترونية لمنظومة الترسيب.

تم اختيار عينات معالجه حرارياً متقاربة بالثخانة إلى حدٍ كبير، منتجة بالطرق الثلاث السابقة واستخدمت لتحضير ثلاث مجموعات من المتصلات لكل معدن Al, Cu, Ag، وكل مجموعة تحوي ثلاثة متصلات بثلاث طرق.

1-1-8 الطريقة الأولى: ترسيب طبقتين متتاليتين من العنصرين Cd, Te بمرحلتين مستقلتين وضبطنا الثخانة لتتشكل طبقة ثنائية بالنسبة: $t_{Te}/t_{Cd}\approx 1.53$ وللحصول على طبقة واحدة من المركب $t_{Te}/t_{Cd}\approx 1.53$ أجرينا معالجة حرارية ما بعد الترسيب post-deposition heat treatment باستخدام مرمدة نوع post-deposition heat treatment 1200 . 1200 لحماية جملة الطبقتين من النقصان ولإتمام عملية التفاعل غُطيت العينة من الأعلى بشريحة زجاجية نظيفة شكل(1-3):



استخدمنا في هذا البحث الشروط المثلى للتحضير التي أوجدناها في بحثنا السابق [12] التي سنوضحها على الأشكال الموافقة لاحقاً.

2-1-2 الطريقة الثانية: حصلنا في هذه الطريقة على فيلم رقيق من CdTe نتيجة تبخير مزيج بنسبه واحدة من مسحوق العنصرينTe و Cd، بعد ضغطهما بكبسولة واحده صغيرة. أجريت المعالجة الحرارية، وتم اختيار عينات نهائية وفق شروط مفضلة رأيناها في بحثنا السابق [13].

p -1-3 الطريقة الثالثة: قمنا بترسيب أفلام رقيقة من المركب CdTe النقي (%+99.99) التي تنتج النوع p -1-3 النوع (%+99.99) التي تنتج النوع p -1-3 الطريقة الثالثة: قمنا بترسيب أفلام رقيق وفق مرحلتين.

- a) الترسيب على ركائز زجاجية نظيفة ساخنة 400°C≈ في الخلاء.
- لك المعالجة الحرارية بعد الترسيب في الدرجة 200° C كشرط أمثل استنتجتاه بالتجربة.

3-1-4 بنية الأفلام الناتجة (Ctructure resulted films)

حصلنا على أطياف انعراج الأشعة السينية XRD للأفلام المنتقاة من الطرق الثلاث لتهيئتها لتشكيل المتصلات PW Generator موضوع دراستنا وذلك باستخدام الجهاز نوع metal-semiconductor junction [M/S-p] موضوع دراستنا وذلك باستخدام الجهاز نوع 20^{-80} إلى 20^{-80} إلى 20^{-80} الكشف عن سطح العينات. فقد حصلنا على صور نموذجية بالمجهر الماسح الإلكتروني (SEM) للعينات المصنعة بالطرق الثلاث لملاحظة الفروق بينها.

3-1-5 القياسات الطيفية (Spectrophotometric measurements

استخدمنا مقياس طيفي نوع (Jasco-570) Spectrophotometer (Jasco-570) لقياس طيف النفاذية (T) وطيف الانعكاسية (R) للأفلام المحضرة بالطرق الثلاث المذكورة أعلاه، واستثنينا الطيف فوق البنفسجي (400nm>) لكون الركائز الزجاجية المستخدمة غير شفافة للضوء في هذا المجال البعيد عن حد الامتصاص في تلوريد الكادميوم.

(preparing M/CdTe-p junction) M/CdTe-p تحضير المتصل 3-2

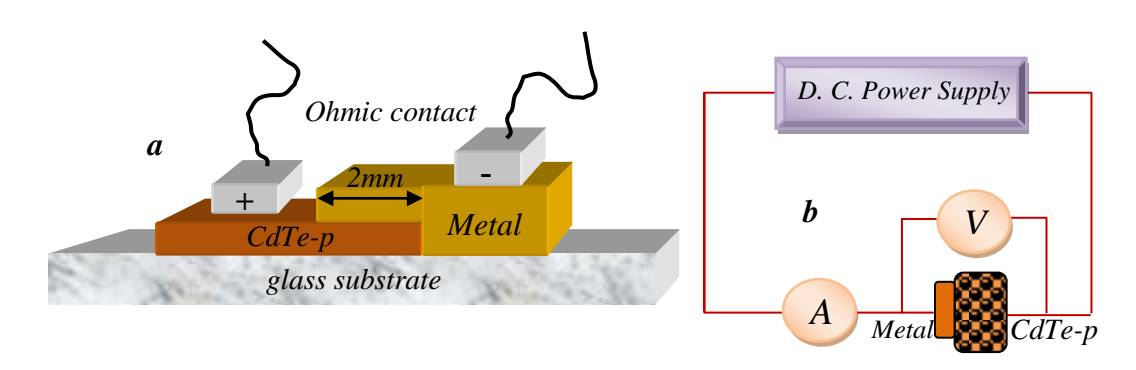
حضرت ثلاث وجبات من المتصلات وذلك بانتقاء ثلاث مجموعات من العينات، وتتألف كل مجموعه من ثلاث أفلام رقيقة CdTe محضره بالطرق الثلاث المذكورة أعلاه.

- a) المجموعة الأولى: ثلاث متصلات من النوع Ag/CdTe-p بترسيب طبقة رقيقة من الفضة النقية (99.9%) سماكتها t≈10 nm على كل من أفلام المجموعات الثلاث.
- (b) المجموعة الثانية: ثلاث متصلات من النوع Cu/CdTe-p بترسيب طبقة رقيقة من النحاس النقية (99.8%) بترسيب طبقة رقيقة من النحاس النقية بنفس سماكة Ag.
- c) المجموعة الثالثة: ثلاث متصلات من النوع Al/CdTe-p بترسيب طبقة رقيقة من الألمنيوم بنفس السماكة السابقة.

يخفف صغر ثخانة الطبقة المعدنية من انتشار المعدن في الفيلم CdTe وتلافي الحصول على تماس أومي بدلاً من حاجز شوتكي.

وقد استخدمت أحجبة معدنية، صنعت خصيصاً، لتحديد مساحة المتصل الثنائي (2mm×2mm≈).

بعد تبخير الطبقات المعدنية قمنا بتشكيل قطبي كلٍ من المتصلات شكل (a-2) للتمكن من إجراء قياسات الميزة I-V. تم ذلك بوصل سلك نحاسي معزول من الخارج قطره 0.1mm إلى الطبقة المعدنية وسلك آخر إلى الطبقة CdTe باستعمال معجون الفضة نوع للتأكد (Silver conductive adhesive 18DB 0X) من شركة (Electron Microscopy Sciences).



الشكل (2)

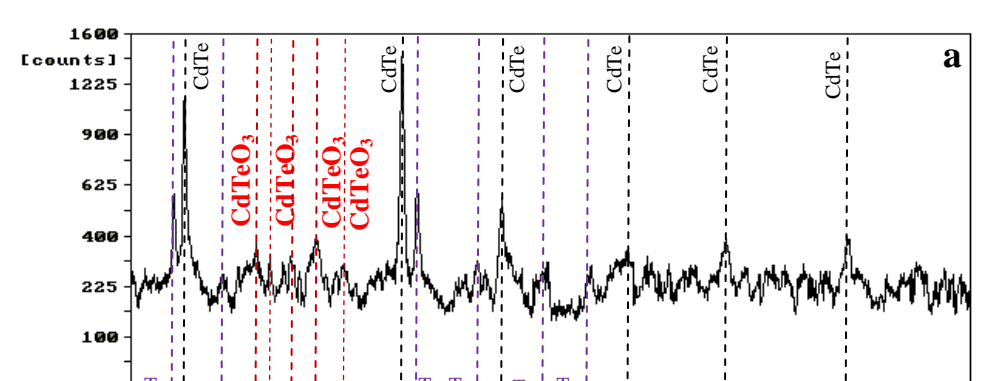
3-2 قياسات الميزة (I-V) characteristics measurements

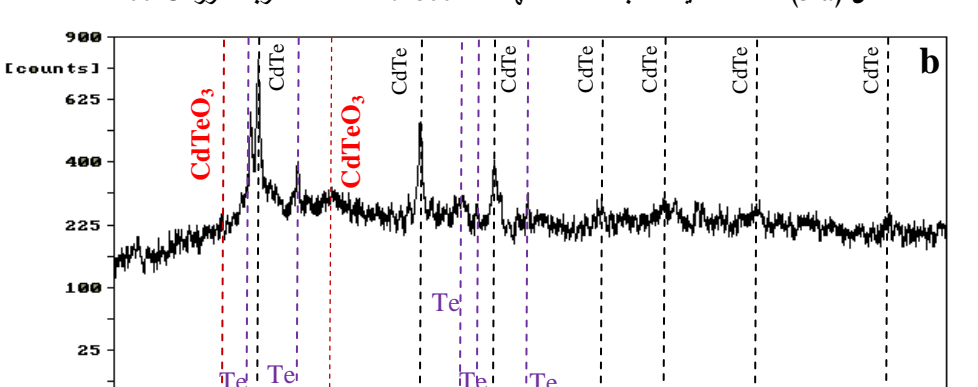
من المعلوم أن CdTe نصف ناقل ذي ناقليه ثقوبية من النوع (p) [14]. وبالرغم من ذلك فقد تعرفنا النوعية من المعلوم أن CdTe نصف ناقل ذي ناقليه ثقوبية من النوعية (p) بالطريقة [15]. يمكن التأكد ببساطة من النوعية CdTe عند مرور التيار من خلال وصل القطب الموجب للمغذية مع CdTe (تغذية أمامية) أو من خلال إعاقة مرور التيار عند وصل القطب السالب مع CdTe وتغذية الأمامية عكسية). استخدمت الدارة المبينة في الشكل (p) لقياس الميزة (p) لجميع المتصلات في التغذية الأمامية (inverse bias) وقد استخدم مقياس جهد عالي المقاومة من رتبة p0 ومضخم للتيار (Measuring Amplifier) نوع (Leybold-Heraeus) لقياس تيارات منخفضة الشدة من رتبة p0 أقل.

4- النتائج والمناقشة:

4-1-البنية والصور الميكروسكويية:

تؤكد أطياف انعراج الأشعة السينية لأفلام CdTe المحضرة بالطرق الثلاث تبلورها ببنية مكعبة مركزية الوجوه من خلال مقارنة هذه الأطياف مع أطياف البنية المكعبة لتلوريد الكادميوم المنشورة سابقاً (بنك المعلومات)، كما أن القيمة الوسطى لثابت الشبكة البلورية التي حصلنا عليها من تجاربنا (a≈6.497A°) تتوافق مع القيمة المنشورة في المرجع[16]. يوضح الشكل (3) أطيافاً نموذجية خاصة بالطرق الثلاث. تشير الأشكال الثلاثة المحضرة بهذه (3-c)،(3-b)،(3-b) إلى بقايا التلوريوم Te ضمن تلوريد الكادميوم، مما يعزز النوعية p في العينات المحضرة بهذه الطرق.

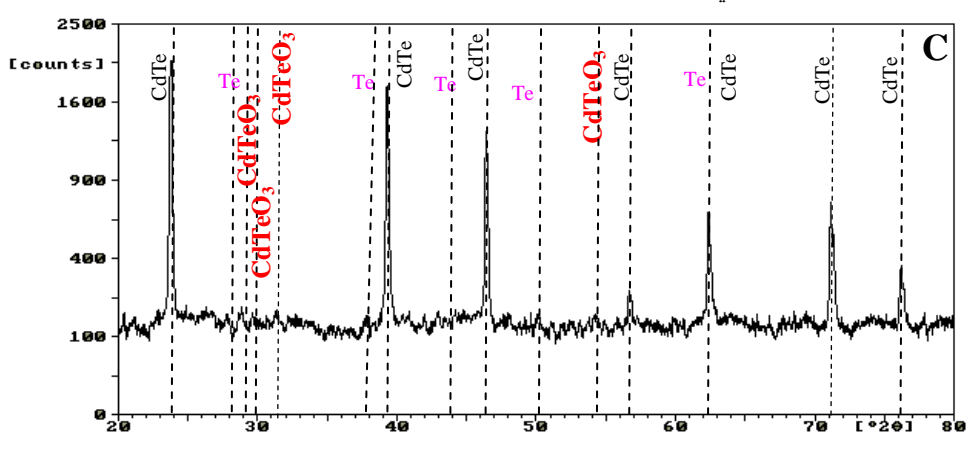




الشكل (XRD): (3-a) لعينة الطبقات، ثخانتها t=800 nm مدنة عند درجة حرارة

الشكل (3-b): XRD لعينة المزيج، ثخانتها t=750 nm، ملدنة عند درجة حرارة 400°C

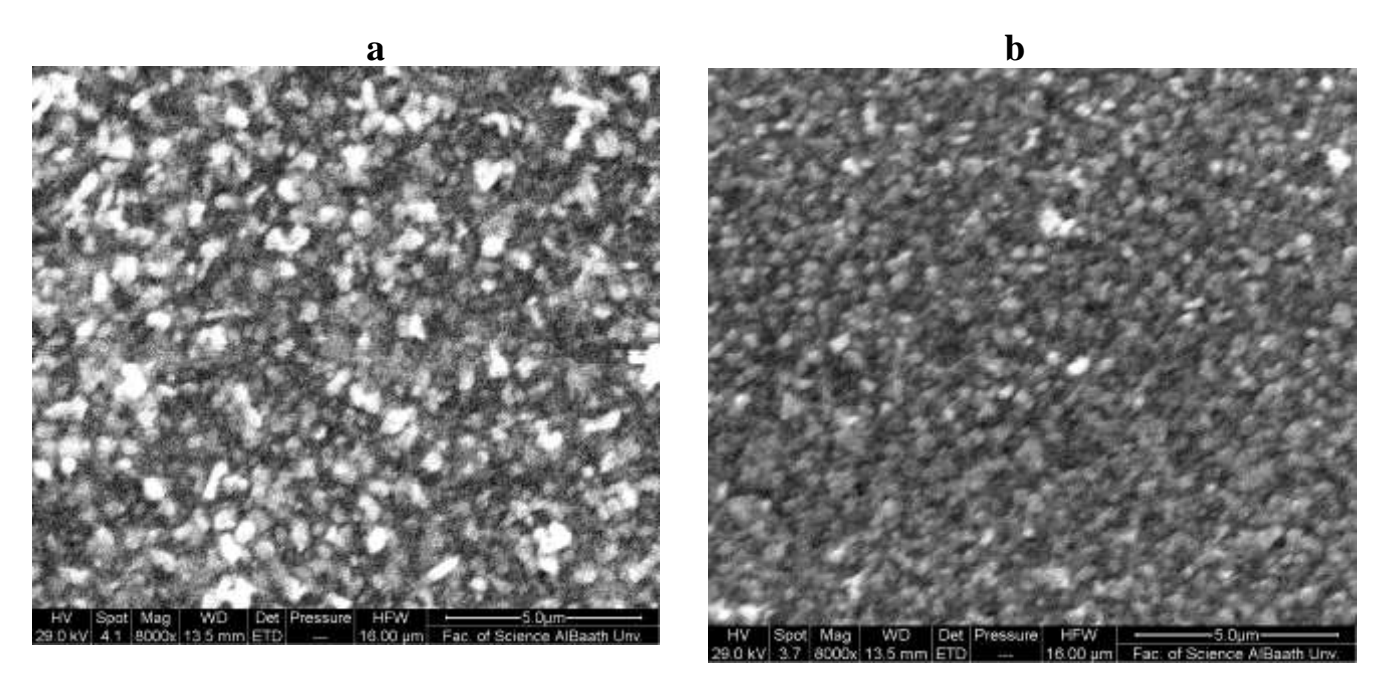
إن زيادة عنصر Te تكون أوضح في العينات المحضرة بالطريقتين الأولى والثانية انطلاقاً من العنصرين Te و Cd، وخصوصا في الطريقة الأولى، مما يعزز الناقلية الثقوبية في المتصلات الناتجة بهذه الطريقة التي سنراها من خلال دراسة الميزة (I-V) لهذه المتصلات، ويلاحظ أيضاً وجود قمم منخفضة الشدة من طبقة الأكسيد وجود طبقة المتشكلة في الأفلام المحضرة بالطرق الثلاث. وهذا متوقع نتيجة التسخين في الهواء، الأمر الذي يؤكد وجود طبقة بيئية رقيقة جداً من الأكسيد [17] في المتصل M/CdTe.



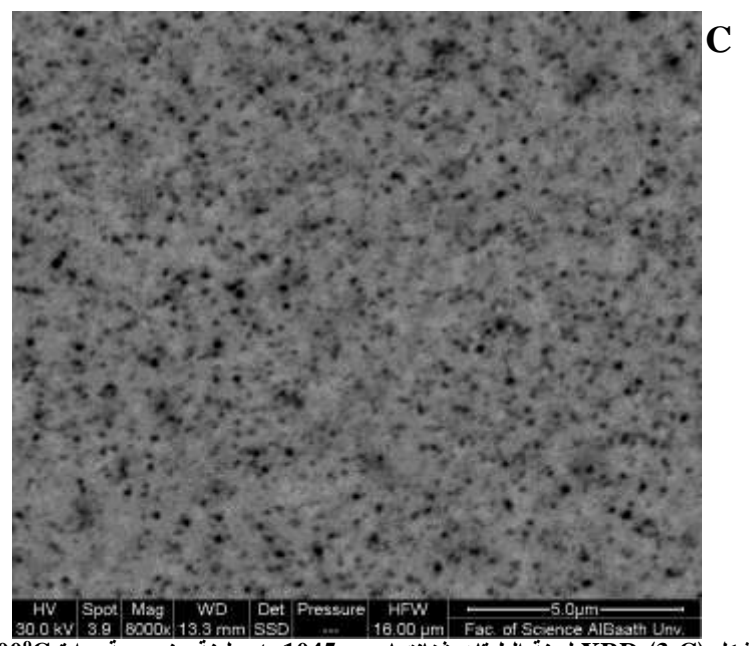
الشكل (XRD (3-C) لعينة الطبقات سماكتها t=1045 nm ملدنة عند درجة حرارة

توافق هذه الأطياف صور المجهر الإلكتروني التي تشير بوضوح إلى تحسن بنية الحبيبات للأفلام المحضرة انطلاقاً من العنصريين الأولين Te وCd كما في الطريقتين (1-1-3) و (3-1-2) مقارنة مع الطريقة (3-1-3) انطلاقاً من المركب CdTe مباشرة.

ونميز في طريقة الطبقات المتراكمة (شكل a-a) تشكل حبات متميزة بكبر حجمها مقارنة مع الحبات المتشكلة في الطريقتين (2-3-a).



 400° C ملدنة عند درجةحرارة t=800 nm الشكل (XRD :(3-a) ملدنة عند درجة حرارة XRD :(3-b) الشكل (3-b) لعينة المزيج ثخانتها



الشكل XRD (3-C) لعينة الطبقات تُخانتها t=1045 nm، ملدنة عند درجة حرارة T=045 nm

4-2-الخصائص الضوئية:

استخدمت القياسات الضوئية Tو R لتعيين معامل الامتصاص باستخدام العلاقة: [12]

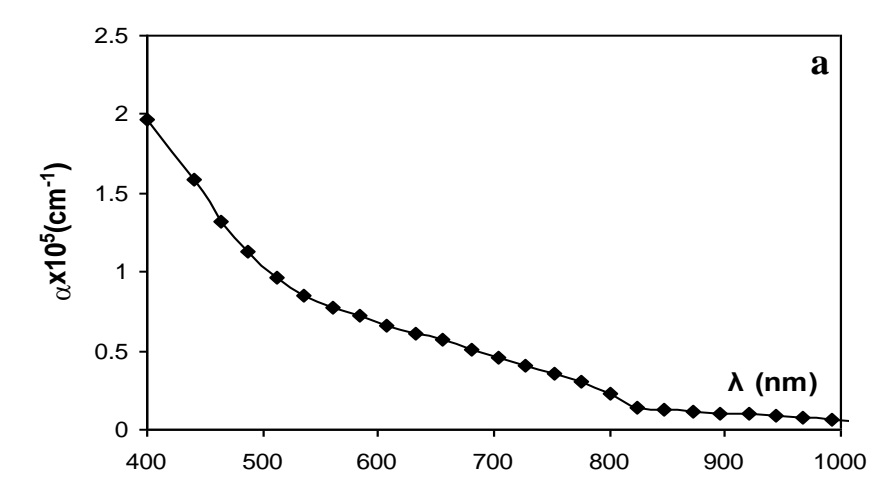
$$\alpha = \frac{2.303}{t} Log\left(\frac{1-R}{T}\right) \tag{1}$$

ذلك أن t هي ثخانة الفيلم المدروس.

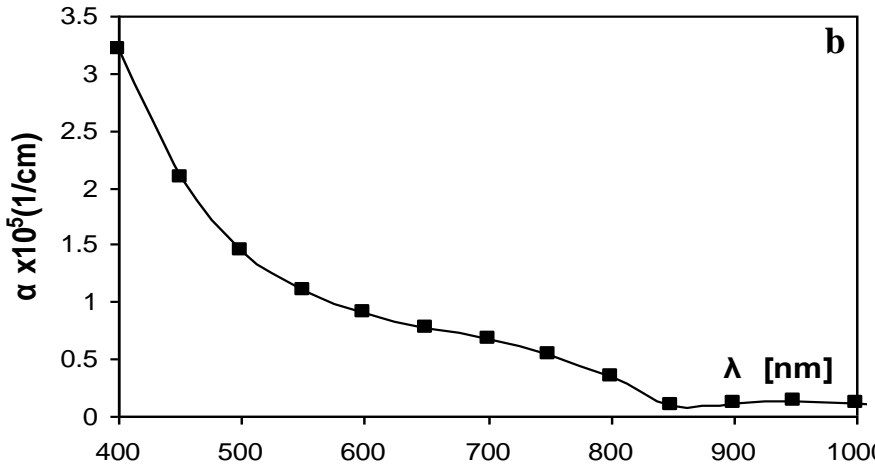
يبين الشكل (4) أن سلوك الامتصاص في أفلام CdTe المحضرة بالطرق المختلفة متماثل، وتشير جميعها إلى حد الامتصاص المتقارب من القيمة 825nm. فمن المعلوم أن امتصاص الضوء في تلوريد الكادميوم يحدث بالانتقالات الإلكترونية المسموحة المباشرة [16,14]، وأن عرض الفجوة الطاقية $E_{\rm g}$ يرتبط بمعامل الامتصاص [13,12] بالعلاقة:

$$\alpha = B \frac{\left(h \upsilon - E_g\right)^{\frac{1}{2}}}{h \upsilon}$$

دلك أن v هو تردد الضوء الساقط، h ثابت بلانك، Bثابت يتعلق بدرجة الحرارة.

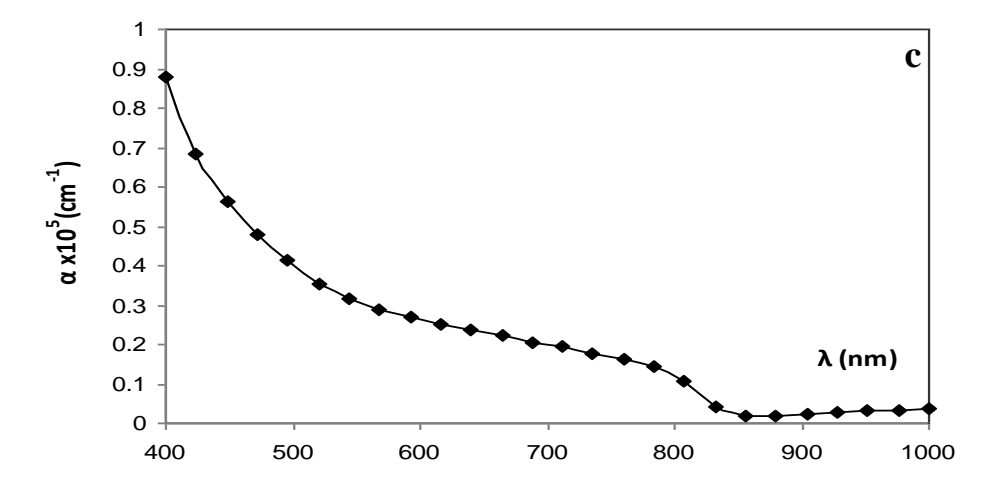


الشكل (a-4): طيف معامل الامتصاص لفلم من طبقات (Cd,Te) بتُخانة 800 nm ملدن عند درجة حرارة ℃400.

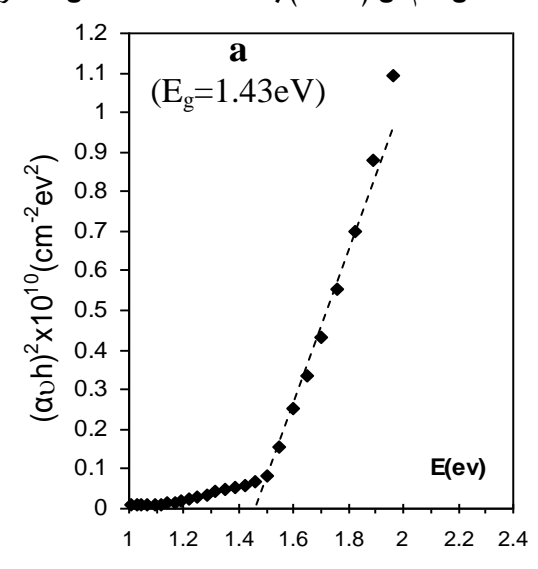


الشكل (4-b): طيف معامل الامتصاص لفلم من مزيج (Cd,Te) بثخانة 750 nm ملدن عند درجة حرارة 200°C.

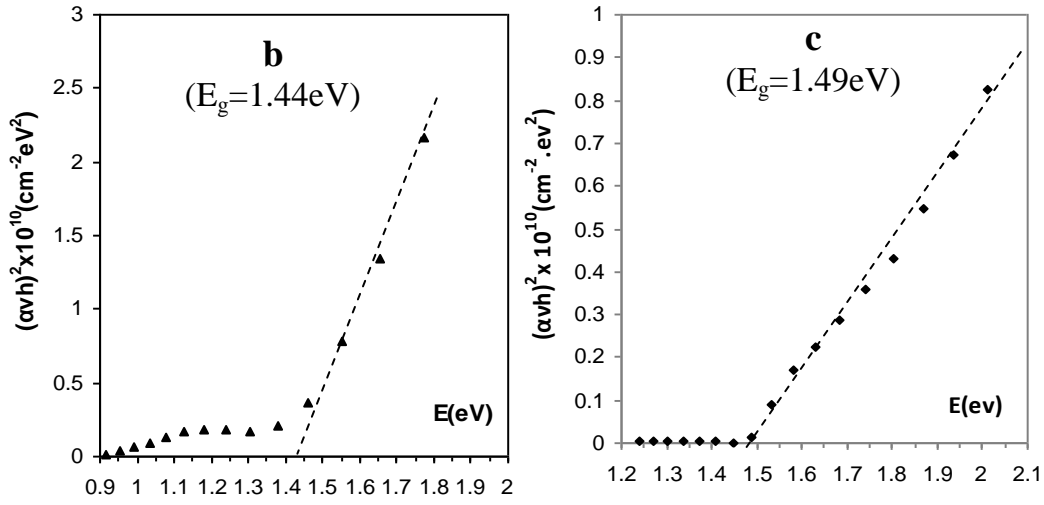
برسم المنحنى $(\alpha h v)^2$ بدلاله طاقة الفوتون h v تحسب E_g من تقاطع ممدد الجزء الخطي من المنحنى مع محور الطاقة كما في الشكل (5).



الشكل (4-C) طيف معامل الامتصاص لفلم من (CdTe) بثخانة 1045 nm ملدن عند درجة حرارة 400°C



الشكل (5-a): قيمة طاقة الفجوة لعينة محضرة بطريقة المركب ملانة عند درجة حرارة عند 400°C في الهواء mm. 800 nm.



الشكل (5-b): قيمة طاقة الفجوة لعينة محضرة بطريقة المزيج، ملدنة عند درجة حرارة 400°C في الهواء nm 750 nm. الشكل (5-c): قيمة طاقة الفجوة لعينة محضرة بطريقة المركب، ملدنة عند درجة حرارة 400°C في الهواء nm. 1045 nm.

يوضح الجدول (1) القيمة المتوسطة للفجوة الطاقية للأفلام المحضرة بالطرق الثلاث المستخدمة في هذا البحث، ونرى أنها تأخذ قيماً أصغر في العينات المحضرة بالطريقة الأولى مما يجعلنا ننتظر تحسن المواصفات للمتصل الثنائي المشكل من هذه الطبقة والتي سنلخصها في الفقرات التالية.

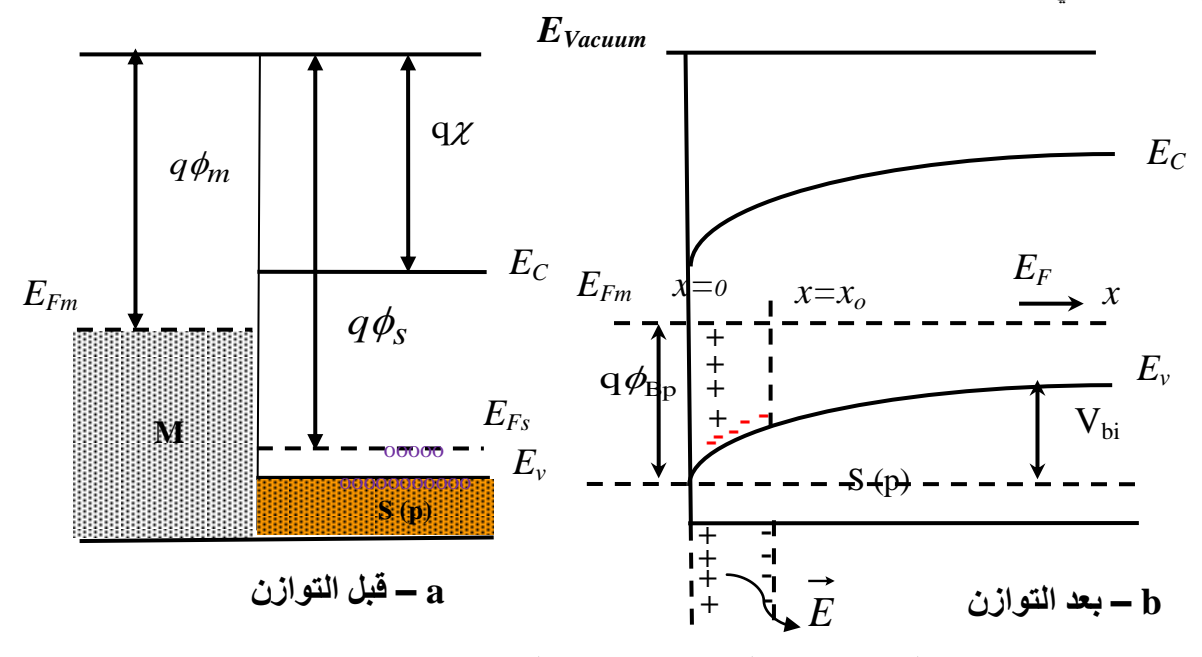
(1) الجدول Method $E_g(eV)$ Layer 1.43 Mixture 1.44 Comp. 1.49

4-3-حاجز شوتكي والميزة (I-V) في المتصلات الثنائية Al,Cu,Ag /CdTe-p

نكرنا سابقاً أن قيمة تابع العمل لنصف الناقل $(q\phi_m)$ للمعادن عيمة توابع العمل $(q\phi_m)$ للمعادن التي نتعامل معها هي $(q\phi_m)$ المعادلة الرتفاع التي نتعامل معها هي $(q\phi_m)$ التي نتعامل معها هي $(q\phi_m)$ التالى: عامل معها التالى: عامل التالى:

$$q\phi_{Bp} = E_g + q\chi - q\phi_m \tag{3}$$

ولأن الألفة الإلكترونية لتلوريد الكادميوم $4.28eV \approx 4.28eV$ نتوقع صعوبة تشكل حاجز كموني بارتفاع سالب أو صفر، إذْ تصبح المقاومة أصغريه، ولا توجد إعاقة للتيار، والتماس يكون أومياً، لذلك فإن العينات المدروسة تكون من النمط الذي يتضمن حاجزاً شوتكياً بعيدة عن التماس الأومي. لكي تكون الصورة واضحة لدراسة تشكل حاجز شوتكي في المتصلات المقترحة من المفيد أن ندرج تصوراً عن المخطط الطاقي للمتصل معدن-نصف ناقل، نوع (p)، وذلك بالتناغم مع النماذج التي تعرض عادةً في المراجع العلمية بالنسبة لنصف الناقل من النوع (n). يوضح الشكل (n) المخطط الطاقي للمتصل (n) بعد تشكله وحدوث التوازن الحراري حيث (n) ويثقق مع المتصلات المدروسة في البحث الحالي



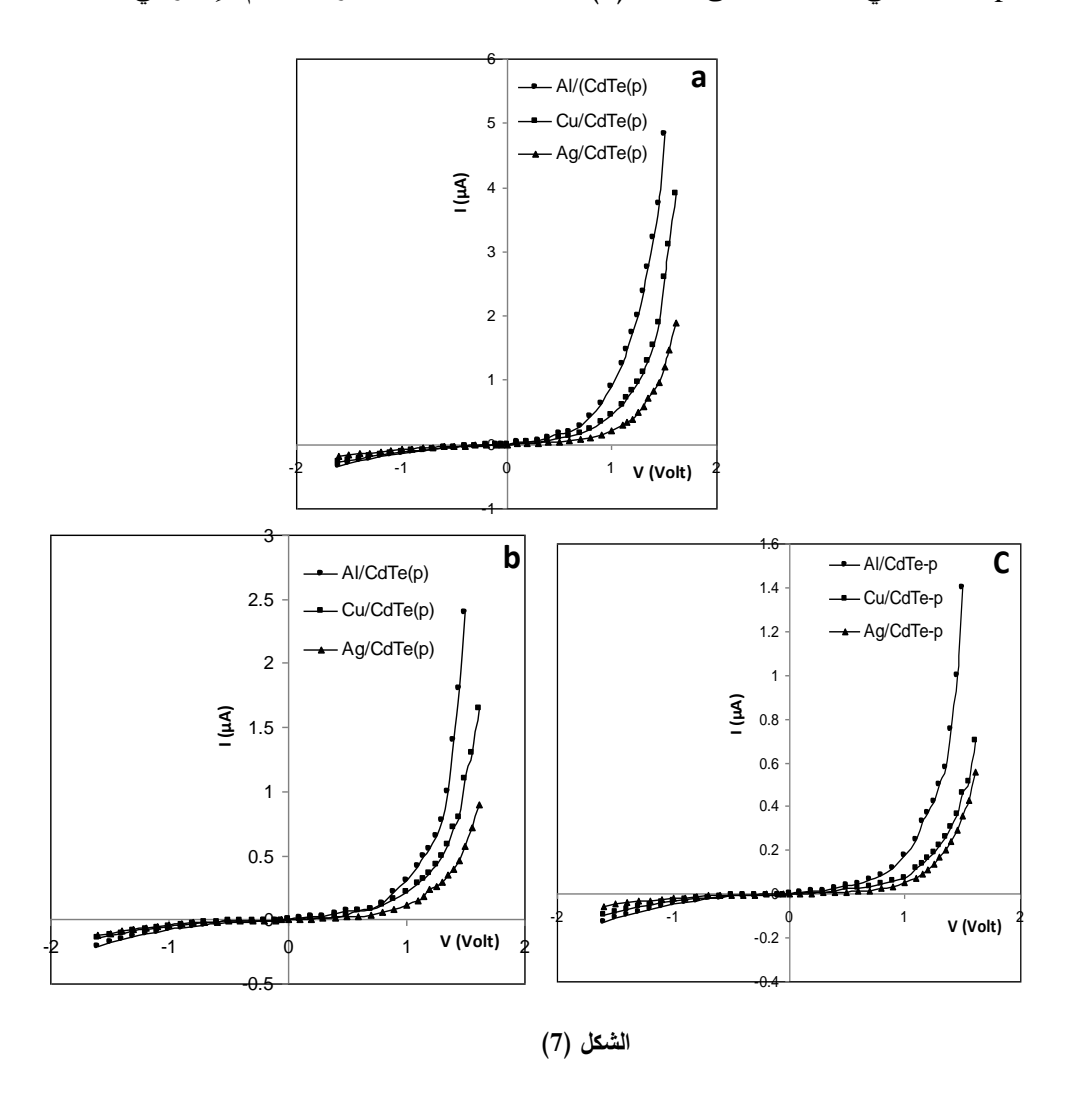
الشكل رقم (6) التوازن الطاقي لمتصل (a) M/S(p) قيل التوازن، (b) بعد التوازن.

تتساوى بعد التوازن الحراري سوية فرمي في الجهتين، ويظهر بين سطحي المعدن ونصف الناقل فرق في الكمون الداخلي $q\phi_s - q\phi_m$ للموضح في الشكل (6)، و يعبر عنه بالفرق qV_{bi} built-in potential الداخلي depletion layer المحددة ب $x=x_0$ تغادرها الثقوب باتجاه خط التماس ويقل فيها تركيز الثقوب وتصبح مقاومتها النوعية أكبر من تلك ضمن البلورة.

. بعلاقة من الشكل: $M/CdTe_{(p)}$ بعلاقة من الشكل. $q\phi_{Bp}=E_g-q(\phi_m-\chi)$

عند وصل الدارة (2-b) بوضع التغذية الأمامية يوصل القطب الموجب مع الطبقة (2-b) والقطب السالب مع الطبقة المعدنية (Al,Cu,Ag). وعند تطبيق جهد أمامي V يحدث تخفيض الكمون qV_{bi} بالمقدار V_{bi} انتقال الثقوب من $CdTe_{(p)}$ إلى المعدن ويحدث العكس عند وصل الدارة بوضع التغذية العكسية، ويزداد الكمون V_{bi} بالمقدار V_{bi} وتزداد إعاقة انتقال حاملات الشحنة. وهذا يظهر التباين في قيمة تدفق التيارين في الاتجاهين الأمامي والعكسي ويحدث تقويم التيار

نوجز نتائج قياساتنا للميزة I-V في الظلمة للمتصلات الثنائية Al,Cu,Ag/CdTe-p في كلٍ من الطرق الثلاث لتحضير الطبقة CdTe-p في المنحنيات على الشكل (7) وجميعها توافق سلوكاً أقرب للتقويم الإلكتروني.



ويمكن أن يوصف بالمعادلة المميزة I-V المشتقة بناءً على نظريه الإصدار الأيوني الحراري Bethel.

$$J = J_s \left(e^{\frac{qV}{kT}} - 1 \right) \tag{4}$$

$$J_{s} = A^{*}T^{2} \exp\left(\frac{-q\phi_{Bp}}{kT}\right) \tag{5}$$

ذلك أن J_s تيار الإشباع و $q\phi_{\rm Bp}$ ارتفاع حاجز شوتكي مقدراً بـ T هودراً بـ T درجة الحرارة المطلقة، T ثابت ريتشاردسون الفعّال (Richardson Constant) والذي يساوي: m_p^* ($A^*=\frac{4\pi q m_p^* k^2}{h^3}$ والذي يساوي: T ثابت بولتزمان، T ثابت بلانك.

يتفق الشكل العام للمعادلة (4) مع مثيلتها في نظرية الانتشار، ويقع الفرق في العوامل الداخلة في تيار الإشباع.

نلاحظ من الأشكال (7-a), (7-b), (7-c) وجود تكرارية وتناسق منتظمين في سلوك التيار في المتصلات المدروسة، فمن الواضح وجود خاصية تقويم التيار، ومن ثمّ تشكل حاجز شوتكي، ولكن التيار يسلك سلوكاً شبه أومي عند تطبيق كمونات منخفضة أقل من 0.6V في عيناتنا، ومن ثم يأخذ التيار سلوكاً أسياً وفي هذا المجال، وفي كلٍ من طرق التحضير الثلاث، نلاحظ أن قيم كثافة التيار في المتصل $Al/CdTe_{(p)}$ أعلى من كثافة التيار في المتصل $Al/CdTe_{(p)}$ ، وأعلى من $Ag/CdTe_{(p)}$ الذي يوافق كون عتبة تنامي التيار في المتصل $Al/CdTe_{(p)}$ أقل منها بالنسبة للمتصلين الآخرين Cu, Cu, Cu, Cu, Cu, Cd, Cd مما يشير إلى أن قيم V_{bi} وجود طبقة الأكسيد البينية التي شاهدنا Al/Cd

تابعنا هذا السلوك بحساب ارتفاع حاجز شوتكي الذي يؤكد سلوك التيار في هذه المتصلات وسنراه لاحقا.

وفي هذا المجال نذكر بان آلية نقل التيار في المتصلات المدروسة بعيدة عن أن تكون نفقية، لأن النفقية تظهر عند إشابة عالية، وذلك لأننا استخدمنا العنصرين Te,Cd والمركب CdTe النقى دون تعمد الإشابة.

4-4- تعيين ارتفاع حاجز شوتكي (Schottky barrier height):

تشير الدراسات إلى ابتعاد قيم حاجز شوتكي التجريبية عن القيم النظرية (وفق نموذج شوتكي)، وجميعها يؤكد خروج النتائج التجريبية عن تلك المثالية التي لا يدخل في الحساب عوامل كثيرة تؤدي إلى هذا التباين، ففي النموذج النظري أهمل تأثير الحالات السطحية التي قد لا تخلو منها عينة تجريبية، ولم يأخذ بالحسبان فعل الشحنة الخيالية أو إمكانية وجود طبقه أكسيد بينية interfacial Layer تزيد من تأثير المنطقة الناضبة، ومن ثمّ تؤثر في كمون البنية الداخلية ولى حاجز الكمون الذي يفسر تغير شدة التيار من متصل إلى آخر.

تجمل هذه التأثيرات بإدخال عامل يعبر عن مدى خروج المتصل عن المثالية بشكل إجمالي، ويسمى عامل المثالية.

1-4-4 عامل المثالية وتيار الإشباع:

لمتابعة السلوك الواقعي لتيار المتصلات الثنائية $M/S_{(D)}$ تعدل المعادلة (5) لتأخذ الشكل التالي: [10,5]

$$J = J_s \left(e^{\frac{qV}{nkT}} - 1 \right) \tag{6}$$

حيث n يسمى عامل المثالية (Ideality Factor)، كثافة تيار الإشباع، ويمكن أن تكتب بالشكل المعدل [11]:

$$J = J_s e^{\frac{qV}{nkT}} \left(1 - e^{\frac{-qV}{kT}} \right) \tag{7}$$

وعندما $\frac{kT}{q}$ تؤول كلٍ من (6) و (7) إلى الشكل:

$$J = J_s e^{\frac{qV}{nKT}} \tag{8}$$

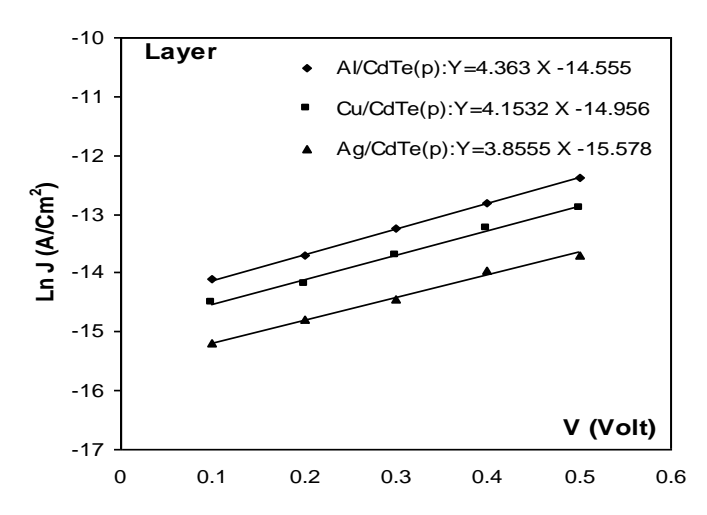
وهذا الشرط محقق فعلياً في مجال قياساتنا. تعطى كثافة النيار $J_{\rm s}$ كما في العلاقة (5) أما عامل المثالية (n):

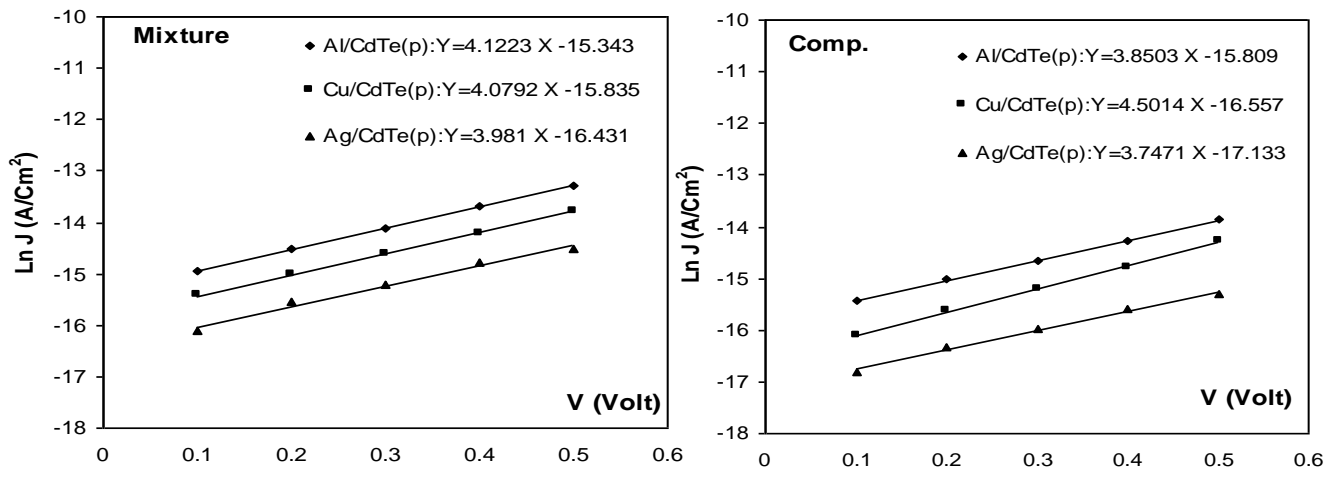
$$n = \frac{q}{kT} \cdot \frac{\partial V}{\partial (LnJ)} \tag{9}$$

من (8) نجد أن:

$$LnJ = LnJ_s + \frac{qV}{nkT}$$

برسم LnJ بدلالة الكمون المطبق V يمكن تعيين n من ميل المستقيم $m=rac{q}{nkT}$ وحساب كثافة تيار الإشباع V من V التقاطع الجزء المستقيم مع المحور V عند V عند V التقاطع الجزء المستقيم مع المحور V عند V التقاطع الجزء المستقيم مع المحور V عند V التقاطع الجزء المستقيم مع المحور V التقاطع الحرور V التقاطع ال





الشكل (8) يوضح الشكل (8) العلاقة LnJ(V) لمعطياتنا بالنسبة للمتصلات Al,Cu,Ag/CdTe-p في كلّ من الطرق الثلاث

(2) الجنون					
Method	Metal	$J_{s (A/Cm)}^{2}$	$I_{s}(A)$	Φ _b (eV)	n
Layer	Al/CdTe _(p)	4.8E-07	1.9E-08	0.75	9
	Cu/CdTe _(p)	3.2E-07	1.3E-08	0.76	9.2
	Ag/CdTe _(p)	1.7E-07	6.9E-09	0.781	10.2
Mixture	Al/CdTe _(p)	2.2E-07	8.7E-09	0.77	9.5
	Cu/CdTe _(p)	1.3E-07	5.3E-09	0.787	9.6
	Ag/CdTe _(p)	7.3E-08	2.9E-09	0.802	9.9
Comp.	Al/CdTe _(p)	1.4E-07	5.5E-09	0.79	10.3
	Cu/CdTe _(p)	6.5E-08	2.6E-09	0.805	8.7
	Ag/CdTe _(p)	3.6E-08	1.5E-09	0.82	10.5

وأوجدنا قيم كلٍ من J_{s} و n وأدرجناها في الجدول (2). الجدول (2)

إن قيم (n) بالنسبة للمتصلات المعتمدة على السيلكون والأرسنيد الغاليون (GaAs) أكبر من الواحد بقليل إلى النسبة للمتصلات (n) بتراوح بين 9-6 للمتصلات (Ni,Al,Ag/CdTe_(p)، في حين أن (n) عند [19] تتراوح بين 1,9-10 في المتصل Ag/CdTe_(p) ويُعزى السبب في زيادة n إلى وجود مساهمة كبيرة الإعادة الاتحاد والتوليد في المنطقة الناضبة.

وبالنسبة للمتصلات المدروسة فإن n تتراوح بين 10-8، ونعزو السبب في زيادتها إلى تشكل طبقة رقيقة بينية من الأكسيد، وتشير الأشكال (3) بوضوح إلى وجود قمم صغيرة الشدة من $CdTeO_3$. أما من حيث تيار الإشباع في من الأكسيد، وتشير الأشكال (3) بوضوح إلى وجود قمم صغيرة الشدة من A/cm^2 هـذا البحـث فـي الطريقـة الثانيـة فكـان A/cm^2 هـذا البحـث فـي الطريقـة الثانيـة فكـان $J_s = 3.7 \times 10^{-8} \frac{A}{cm^2}$

2-4-4 ارتفاع حاجز شوتكي:

يتعين ارتفاع حاجز شوتكي من كثافة تيار الإشباع المعطى بالمعادلة (5) إذ ينتج أن:

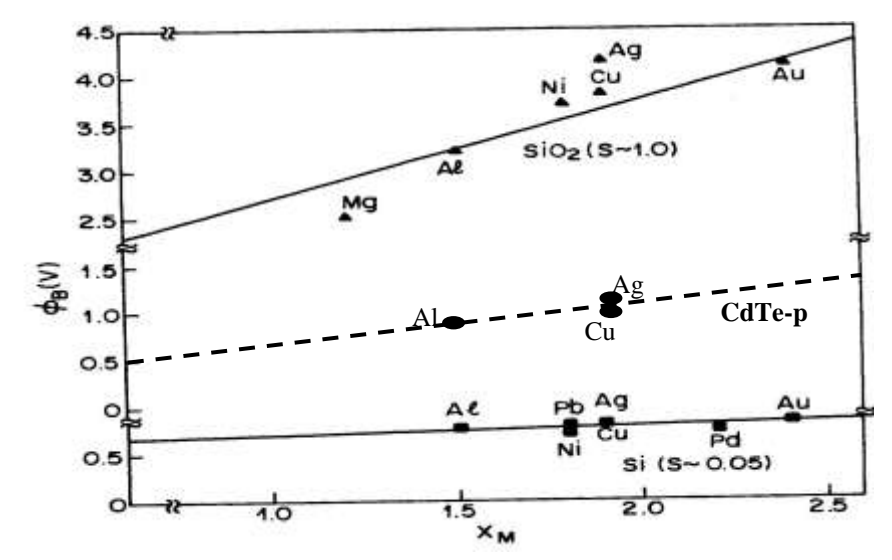
$$q\phi_B = kT.Ln\left(\frac{A^*T^2}{J_s}\right)$$

نلك أن $q\phi_{\mathrm{Bp}}$ ارتفاع حاجز شوتكي بالإلكترون فولت، $T=295^{\circ}\mathrm{C}$ درجة حرارة الغرفة عند قياس $q\phi_{\mathrm{Bp}}$ ذلك أن $q\phi_{\mathrm{Bp}}$ ارتفاع حاجز شوتكي بالإلكترون فولت، $A^*=42\frac{A}{cm^2.k^2}$ فكــان يســـاوي $A^*=\frac{4\pi q m_p^* k^2}{h^3}$ فكــان يســـاوي . $k=8.62\times 10^{-5}\frac{eV}{K}$ بعَدّ م $m_p^*=0.35$

إن تغير قيمة ثابت ريتشاردسون لا تؤدي إلى أي تغير ملحوظ في قيمة ارتفاع حاجز شوتكي [10]. على هذا الأساس حسبنا $q\phi_{B(p)}$ للمتصلات $Al,Cu,Ag/CdTe_{(p)}$ في تجربتنا وأدرجناها في الجدول (2) نلاحظ ارتفاع حاجز شوتكي بالمتوسط يتراوح بين 0.81eV-0.8eV0 هذه القيم قريبة لما ورد في [10] بالنسبة للفضة 0.81eV0 وبالنسبة للألمنيوم 0.76eV0 مع 0.76eV0 وأيضاً في [3] كان 0.76eV0 بالنسبة لحال وكذلك كما ورد في [19]، فقد وجد ارتفاع حاجز شوتكي 0.83eV0 للمتصل 0.83eV0 هي قريبه جداً لما أوجدناه.

نلاحظ من الجدول (2) أن ارتفاع حاجز شوتكي في كلٍ من الطرق الثلاث يأخذ أصغر قيمه له من أجل $Al/CdTe_{(p)}$ ، ثم يزداد من اجل $Al/CdTe_{(p)}$ ، مما يؤدي إلى أن كثافة التيار في $Al/CdTe_{(p)}$ أعلى من كثافتي التيار في $Ag/CdTe_{(p)}$ كما في الشكل (7).

من المعلوم أن $\phi_{B(p)}$ يرتبط بعوامل عدة، فهو يرتبط نظرياً بكل من χ و $\phi_{B(p)}$, ومن أجل نصف الناقل ذاته فإن $\phi_{B(p)}$ يعتمد على $\phi_{B(p)}$ وطريقة قياسه، وهناك عامل آخر يدخل في تحديد $\phi_{B(p)}$ ألا وهو الكهربائية السلبية ذاته فإن $\phi_{B(p)}$ يعتمد على $\phi_{B(p)}$ وقدرة الذرة في الجزيء على جذب الإلكترونات لنفسها). وتتعين قيمتها وفق سلّم باولينغ للكهروسلبية [10]. فهي للألمنيوم 1.5، وللنحاس تقريباً 1.8، وللفضة أكبر من 1.8 بقليل. ووفقاً لهذه الخاصة نلاحظ أن حاجز شوتكي في عيناتنا يزداد بازدياد الكهربائية السلبية كما يشير الخط المنقط في الشكل (9) الذي نتوقعه عند الحصول على متصلات أخرى من معادن أخرى. ونرى أن تأثير الكهروسلبية هي بالفعل الأقوى في ترتيب ارتفاع الحاجز. تشير النتائج التجريبية في المراجع إلى عشوائية اعتماد ارتفاع الحاجز على تابع عمل المعدن، فهو قد يزيد بازدياد ϕ_{m} بالنسبة لمجموعة معادن، وينتساقص بازدياد ϕ_{m} بالنسبة لمجموعة أخسرى من المعادن.

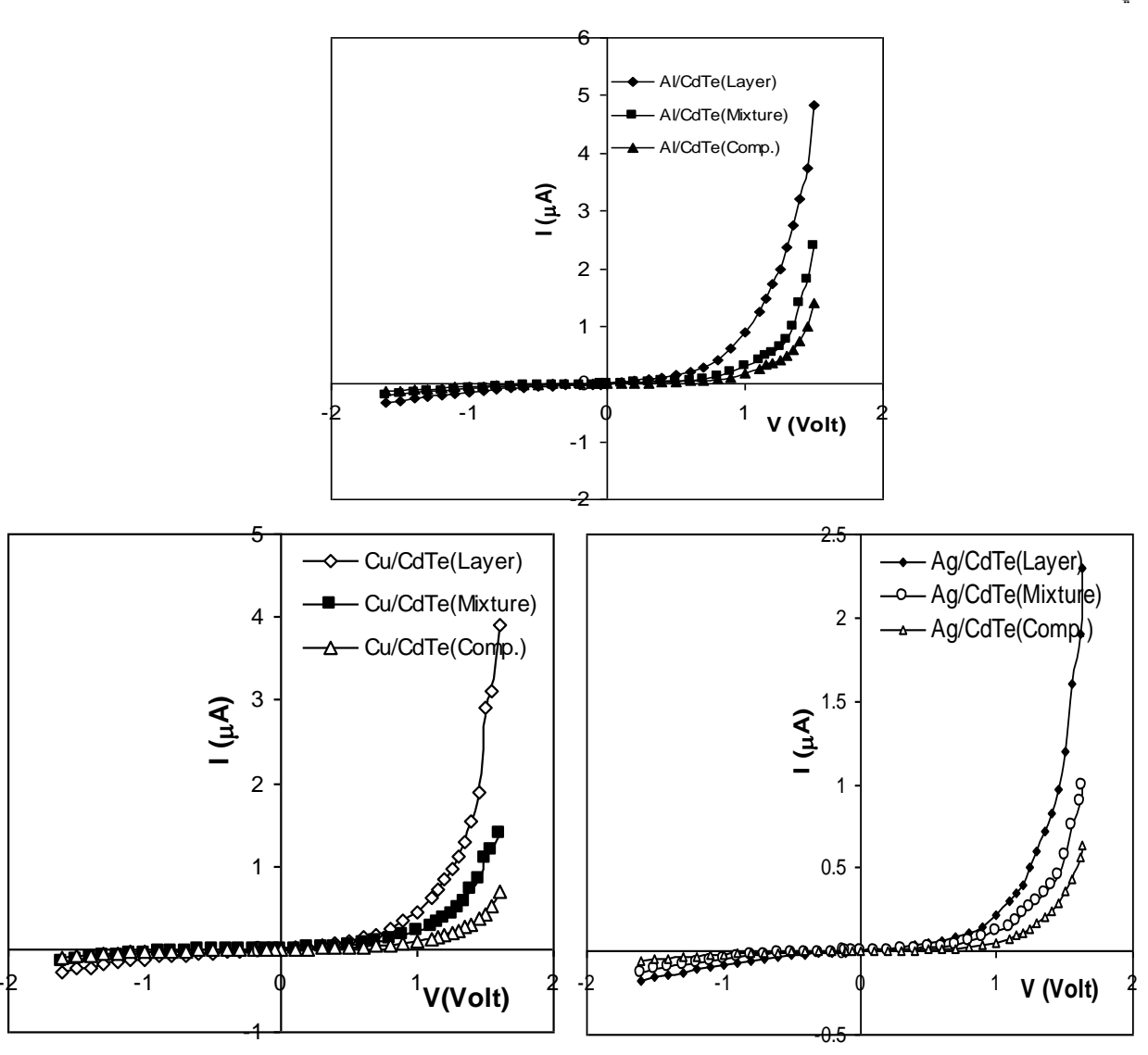


الشكل (9). يوضح الخط المنقط الذي نتوقعه عند الحصول على متصلات أخرى من معادن أخرى

لذلك نرى إن ارتفاع الحاجز في المتصلات المدروسة يزداد إلى حدٍ ما بازدياد الكهربائية السلبية مثلما تشير النتائج في كلٍ من الدراستين [10] و [3] إلى أن ارتفاع حاجز شوتكي يزداد بازدياد الكهروسلبية للمعدن في متصلات من الدوع، (Al,Ag,Pt,Au/GaAs), (Al,Pb,Ag,Cu,Au/Si) وأخيراً تشير الأشكال (10) إلى الميزات I-V للمتصلات (Mg,Al,Cu,Ag/SiO₂) وأخيراً تشير الأشكال (10) إلى الميزات المتصلات واصفات سابقة أنه توجد تكرارية بالطرق الثلاث المتبعة في هذا البحث ونلاحظ هنا بالإضافة إلى ما وجدناه من مواصفات سابقة أنه توجد تكرارية قانونية في كلٍ من المتصلات، وهي أن كثافة التيار تأخذ قيماً أعلى عندما تحضر الطبقة الأعلى توافق الطريقة العنصرين CdTe بالمقارنة مع الطبقة المحضرة مباشرةً من المركب CdTe، وأن القيمة الأعلى توافق الطريقة الأولى (طريقة الطبقات المتراكمة)، وذلك بسبب نقصان حاجز شوتكي كما في الجدول (2) فإن حاجز شوتكي مثلاً

متراكمة، وهكذا ماركي ~ 0.786 يساوي ~ 0.786 وهكذا متراكمة وهكذا متراكمة وهكذا بالنسبة للمتصلات الأخرى.

إن هذه الحقيقة تتفق مع كون البنية البلورية ذات حجم حبيبات أكبر في الطريقة التراكمية كما هو واضح في صور المجهر الإلكتروني التي تشير إلى كبر حجم الحبيبات في عينات الطريقة الأولى، بالإضافة إلى وجود أكبر لبقايا Te في عينات هذه الطريقة كما في الشكل (3) الذي يعزز النوعية (p) ويقلل من مقاومة المتصل مما يسبب في زيادة التيار.



الشكل (10) يوضح الميزات I-V للمتصلات Al,Cu,Ag/CdTe(p) المحضرة بالطرق الثلاث المتبعة في هذا البحث

3-4-الاستنتاجات والتوصيات:

- 1. استخدمت ثلاث طرق لتحضير فلم رقيق من النوع (CdTe
 - ترسيب الطبقات المتراكمة من العنصرين Te و Cd .
 - ترسيب امزيج من العنصرين Te و Cd.

- ترسيب المركب CdTe.
- أجريت عليها المعالجة الحرارية بعد الترسيب عند درجة حرارة 400° C أجريت عليها المعالجة الحرارية بعد الترسيب عند درجة حرارة $E_{\varphi} \approx 1.4533 eV$ وعرض الفجوة الطاقية
- $t \approx (10-20) nm$ بترسيب طبقات رقيقة من Ag وCu Al بترسيب طبقات رقيقة من $M/CdTe_{(p)}$ ثخانتها $M/CdTe_{(p)}$ على الطبقة $CdTe_{(p)}$. يتشكل حاجز شوتكي وتظهر خاصة تقويم التيار من خلال دراسة الميزة $M/CdTe_{(p)}$
 - $\cdot \left(J_spprox 10^{-8}rac{A}{cm^2}
 ight)$ وكثافة تيار الإشباع I-V حساب عامل المثالية (npprox 9-10وكثافة تيار الإشباع I
- تم تفسير انحراف القيم التجريبية عن النموذج المثالي (ارتفاع قيم n) بوجود طبقة بينية من الأكسيد $CdTeO_3$ التي تُتتج طبيعياً بعد التسخين في الهواء، وهي رقيقة لا تؤثر في السلوك العام للميزة (I-V).
- 4. استخدمت قيم تيار الإشباع لحساب ارتفاع حاجز شوتكي $\left(q\phi_{Bp}\approx 0.75 eV-0.82 eV
 ight)$ ، ووجد أنه يزداد بازدياد الكهروسلبية للمعادن المستخدمة في تشكيل المتصل الثنائي.
- 5. لوحظ ازدياد قيم كثافة التيار في الميزة (I-V) في المتصلات المحضرة بطريقة الطبقات المتراكمة مقارنةً مع الطرق الأخرى، الأمر الذي يوافق انخفاض حاجز شوتكي مفسر بازدياد حجم الحبات ووجود بقايا من عنصر الأخرى، الأمر الذي يوافق انخفاض حاجز شوتكي مفسر بازدياد حجم الحبات ووجود بقايا من عنصر الطبقة CdTe الطبقة CdTe المحضرة بهذه الطريقة. وتتأكد صحة النتائج من خلال دراسة انعراج الأشعة السينية وصور المجهر الإلكتروني.

المراجع:

- 1. FISTOOL, B,U. Introduction in physics of semiconductors vishaea shakola Moscow, 1975, 195.
- 2. KAKAH, M. Solid states electronic, First Edition, Damascus University, 1988.
- 3. HENDRICKS. *Metal-Semiconductor Contacts*, <<u>www.mse.vt.edu/faculty/hendricks/ssmd_lectures/BandW/6pp/V2c16s06.pdf</u>>. 2007. (8/8/2006)
- 4. JHOLMES. *Metal-semiconductor junctions*, www.chu.edu/Jhoimes/p353/n409metal.semi.doc>, 2007. (2/3/2007)
- 5. ZEGHBROECK, B. Van principles of semiconductors devices, 2004, chapter 3.
- 6. HABIL, V. *Foundational combination in solid state*, < mtmi-vu.lt/pfk/funkc-darinian/diod/schottky>. 2007. (5/8/2006)
- 7. COMPAAN, A. D. & et al. *Cu k-edge x-ray absorption fine structure change in CdTe with CdTe processing*. www.nrel.gov/pv/thin-films/docs/e-mrs-ut-livu-compaan. 2004. (1/2/2007)
- 8. KASTRI lal chapra and sahit rangan das. *thin film solar calls*. New York and London, 1980,25.
- 9. BATZER, D. L. & et al, development of the efficient and stable back contacts on CdTe/CdS Solar cells, Institute Te of Quantum electronic, Germany www.ige.ethz.ch/meoe-alt/tfp/bCd.pdf, 2007. (2/8/2006)
- 10. SZE, S. M. *physics of semiconductor devise*, second Edition, john Wiley & sons, New York, 1981.
- 11. SARMAH, P. C. & et al. *current-voltage characteristics of Ag, Al, Ni- (n)CdTe junction*, Bull, maler, sci, India academy of sciences, vol. 24, N°.4, august 2001, pp. 411-414.
- 12. AL ABDELLAH, R. KSIBE, Ayman and AL SHARAFI, Zakaria. *Preparation of CdTe thin films from its Elemental constit uents (Cd, Te)*. Journal of Al-Baath Uinv., Vol. 28, No. 2, 2006.
- 13. AL ABDELLAH, R. KSIBE, Ayman and AL SHARAFI, Zakaria. *preparations CdTe Thin films from Mixture of Cd, Te powder using heat annealing*, (acceptance7/12/2006).
- 14. SCHAFER, Richard. *Cadmium Telluride*. 06-09-2006 ph-575 .(22/9/2006)">web.engr.orgonstaTe.edu/schaferv/miror/pM-5751>.(22/9/2006)
- 15. SOLECON Labs., *Doping Type Determination*, Solecon Laboratories Inc., 770 Trademark Drive, Reno NV 89521-5926, Tel. (775) 853-5900, Fax (775) 853-5998, www.solecon.com/pdf/doping_type_deTermination.pdf.>(1/10/2006)
- 16. PETER, Y. Y. U. & CARDONA, Manuel. Fundamental of semiconductors Physics and materials, Third Edition, 2003.
- 17. HEIBA, Z. k. *x–ray structure phase analysis of CdTe semiconductor annealed in air cry's*. Res. Technol. 38, N°. 6, 2003/Dot 10/002/crat. 2003/006. pp. 488-493
- 18. DEMTSU, S. M. & et al, *Stability Study of CdS/CdTe Cells made with Ag and Ni back-contacts*, Colorado state University, Sol Energy malts & Sol. Cells (2005), www.nvel.gov/thin-film/docs/albin-2005.pdf. (2/2/2007)
- 19. ZHAFOROV, T.D.D. & CALISKAN, M. *Photo stimulated changes of electrical characteristics of Ag/CdTe thin film structures*. matter. Res. Soc. Sump. Vol. 865 © 2005 Materials. Research Society.